

# SZAU Projekt 2

Janusz Kubiak, Krzysztof Jóskowiak

14.01.2021

## 1 Wstęp

Regulowany w zadaniu proces opisany jest równaniami:

$$\begin{aligned}x_1(k) &= -\alpha_1 x_1(k-1) + x_2(k-1) + \beta_1 g_1(u(k-3)) \\x_2(k) &= -\alpha_2 x_1(k-1) + \beta_2 g_1(u(k-3)) \\y(k) &= g_2(x_1(k))\end{aligned}$$

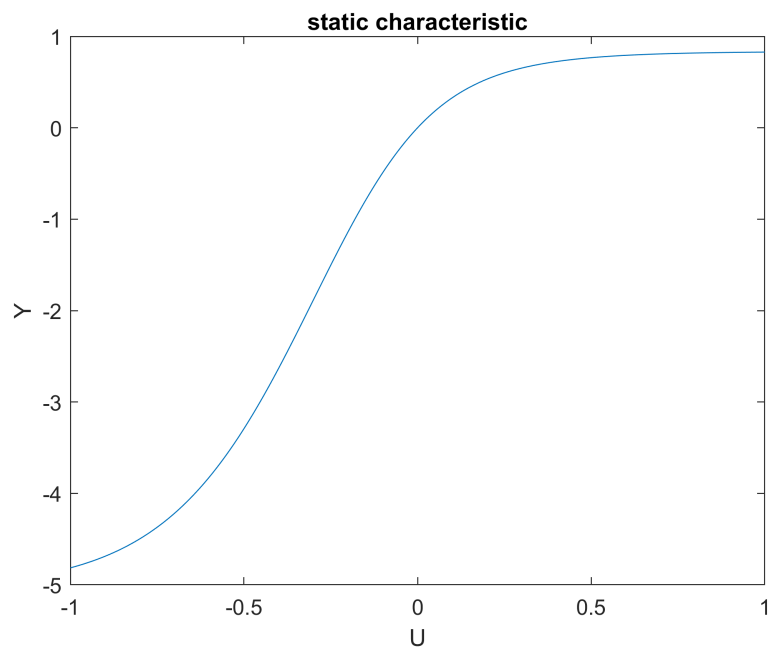
gdzie  $u$  - sygnał wejściowy,  $y$  - wyjściowy,  $x_1, x_2$  - zmienne stanu,  $\alpha_1 = -1,535262$ ,  $\alpha_2 = 0.586646$ ,  $\beta_1 = 0.02797$ ,  $\beta_2 = 0.023414$ , oraz:

$$g_1(u(k-3)) = \frac{\exp(4.5u(k-3)) - 1}{\exp(4.5u(k-3)) + 1}, g_2(u(k)) = 1 - \exp(-1.8x_1(k))$$

## 2 Symulacja procesu

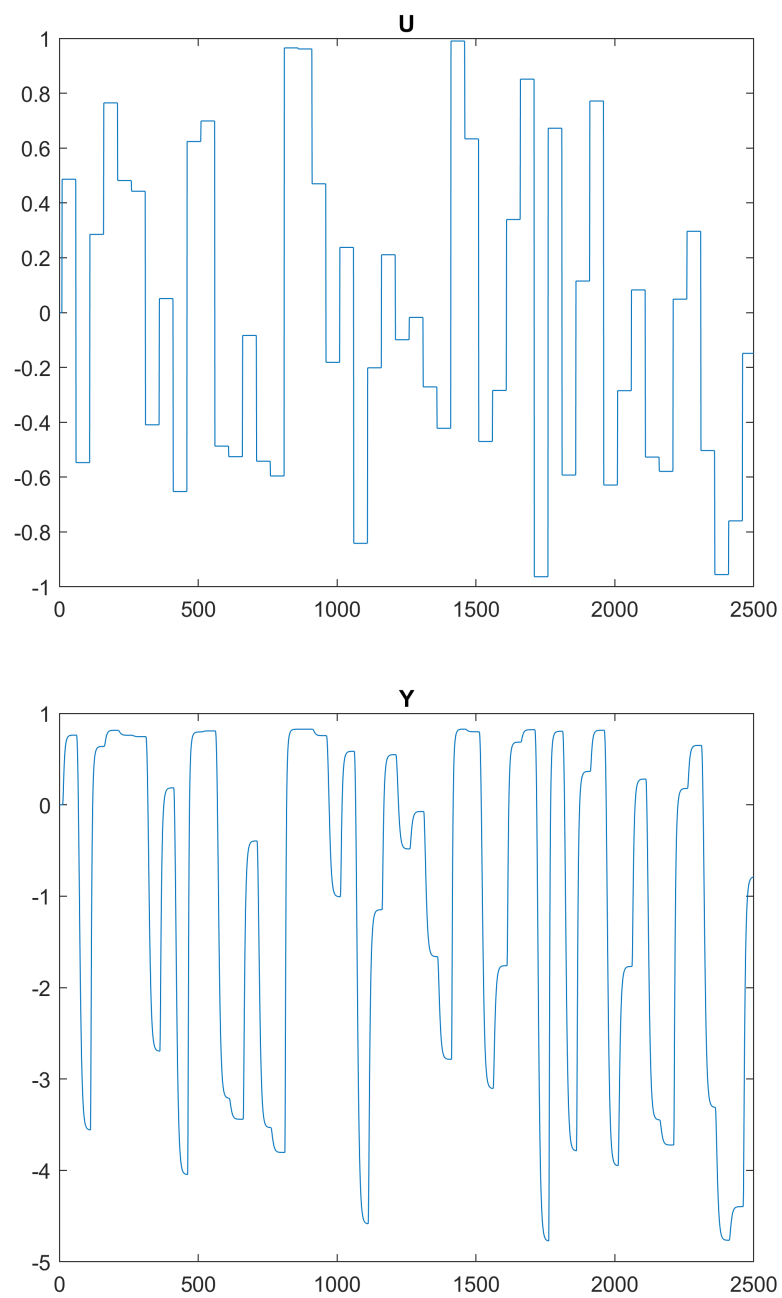
### 2.1 Charakterystyka statyczna

Charakterystyka statyczna procesu została wyznaczona metodą symulacyjną.

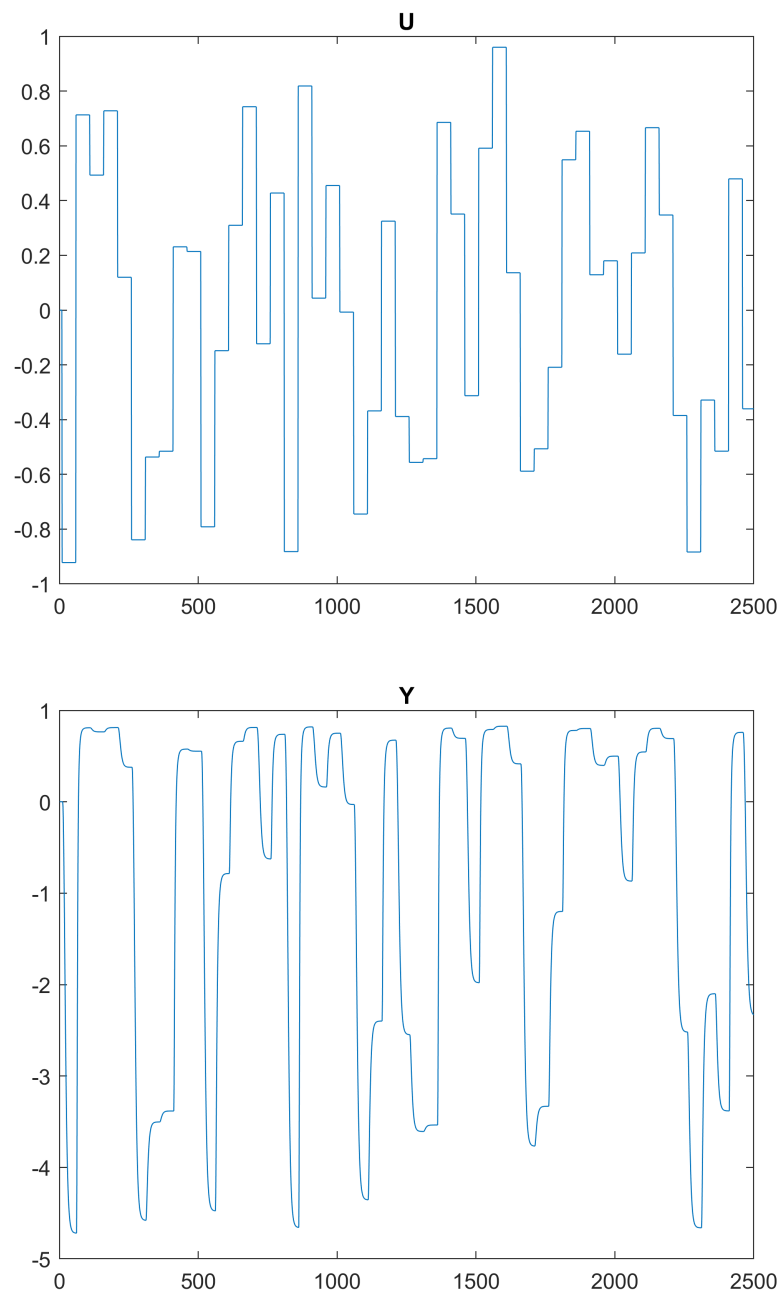


Rysunek 1: Charakterystyka statyczna obiektu.

## 2.2 Symulacje



Rysunek 2: Dane uczące.



Rysunek 3: Dane weryfikujące.

## 3 Modelowanie procesu

### 3.1 Opóźnienie

Opóźnienie procesu można odczytać bezpośrednio z równań. Jest to odcinek czasu po którym obiekt zaczyna odpowiadać na zmianę sterowania. Dla tego procesu wynosi ono  $\tau = 3$ .

### 3.2 Modele neuronowe

Modele neuronowe uczone były w trybie rekurencyjnym, maksymalnie 1000 iteracji, oraz błędzie granicznym 0.00001 algorytmem BFGS, przy pomocy dostarczonego programu “sieci”. W poniższej tabelce przedstawiono błędy średniokwadratowe, gdzie dla najlepszego modelu z każdej grupy dla danych weryfikujących w trybie rekurencyjnym. Błąd ten dany jest równaniem

$$E = \frac{\sum_{k=1}^L (y - y_{mod})}{L},$$

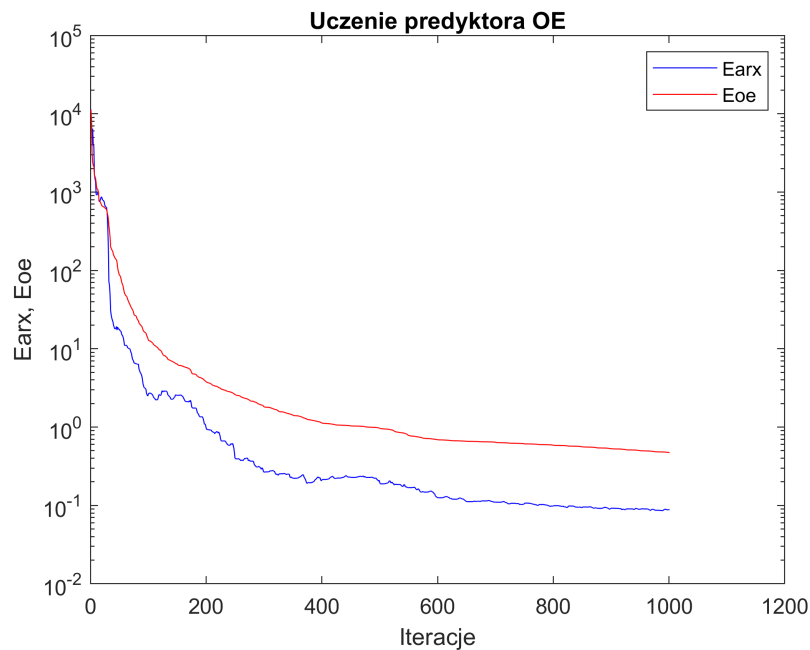
gdzie  $y$  - wyjście procesu,  $y_{mod}$  - wyjście modelu,  $L$  - długość symulacji.

Wzór ten podany został, ponieważ program “sieci” najwyraźniej inaczej obliczał błąd (prawdopodobnie nie dzielony był on przez długość symulacji), więc błędy na rysunkach z uczenia modelu mogą odbiegać od podanych w tabelkach itp. Nie zmienia to uszeregowania modeli pod względem błędu, więc nie powinno być problemem. Poza modelami z 1 i 2 neuronami uczenie wszystkich pozostałych wykorzystało maksymalną liczbę iteracji, było więc dość powolne.

Neurony	Błąd OE
1	7.612144e-02
2	3.112128e-03
3	1.229195e-03
4	8.506235e-04
5	5.153278e-04
6	3.153605e-04
7	3.945854e-04
8	2.302020e-04
9	2.257136e-04
10	1.545001e-04

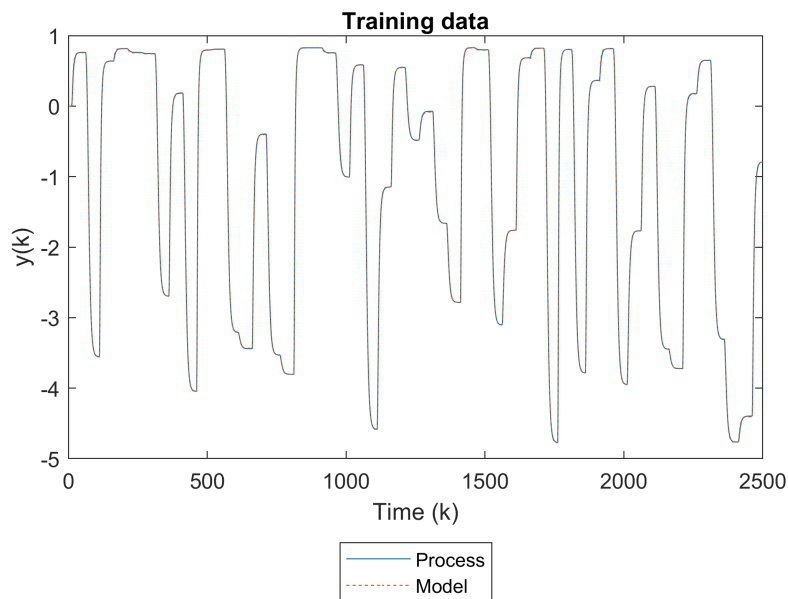
### 3.3 Wybór najlepszego

W związku ze wzrostem błędu między modelem z 6 a 7 neuronami uznano model z 6 neuronami za najlepszy kompromis między dokładnością a ilością obliczeń.

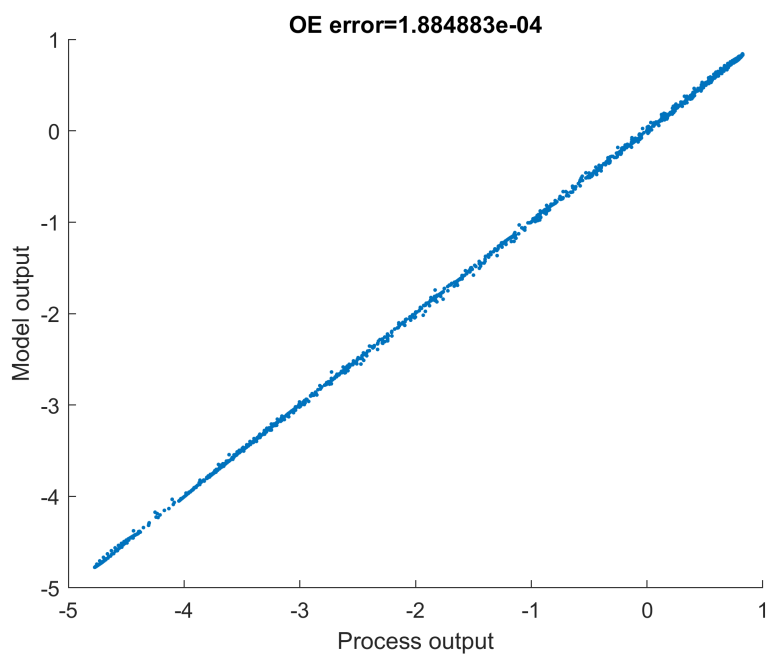


Rysunek 4: Przebieg błędów podczas uczenia najlepszego modelu z sześcioma neuronami.

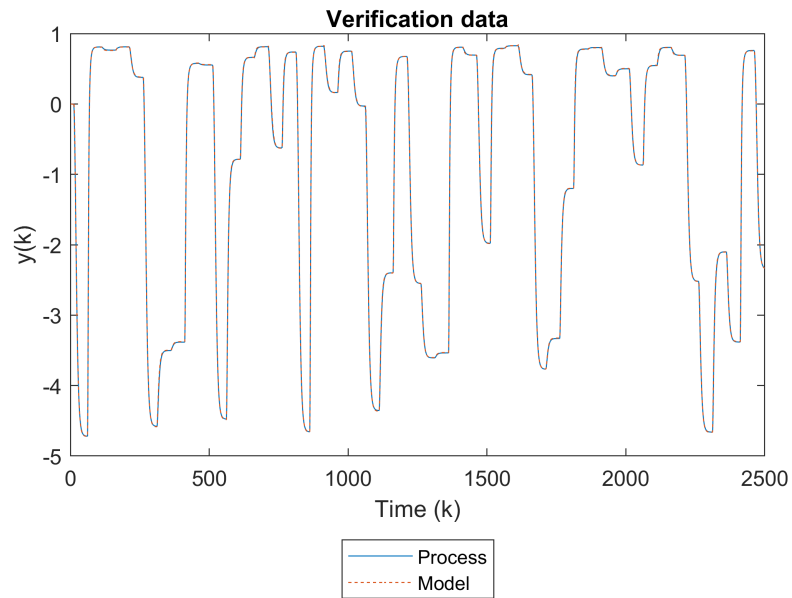
### 3.4 Porównanie procesu z modelem



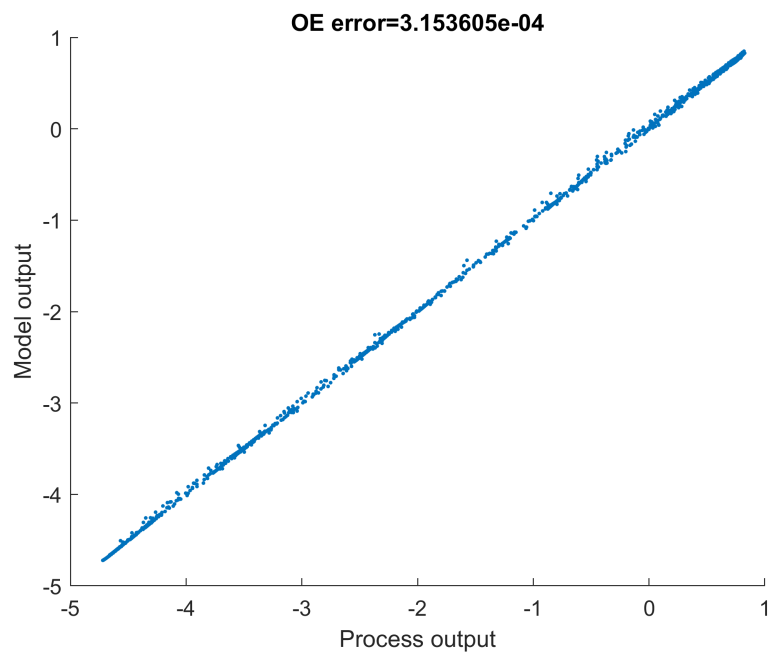
Rysunek 5: Porównanie wyjścia procesu z wyjściem modelu dla danych uczących.



Rysunek 6: Wyjścia modelu na tle wyjść procesu dla danych uczących.



Rysunek 7: Porównanie wyjścia procesu z wyjściem modelu dla danych weryfikujących.

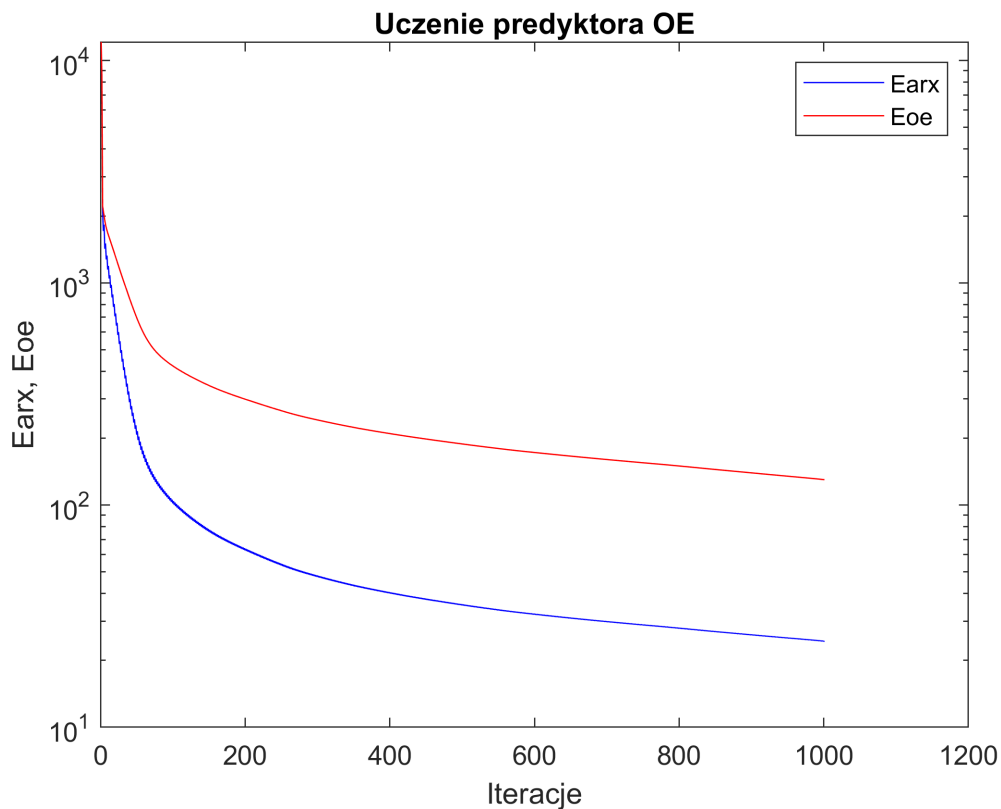


Rysunek 8: Wyjścia modelu na tle wyjść procesu dla danych weryfikujących.



### 3.5 Algorytm najszybszego spadku

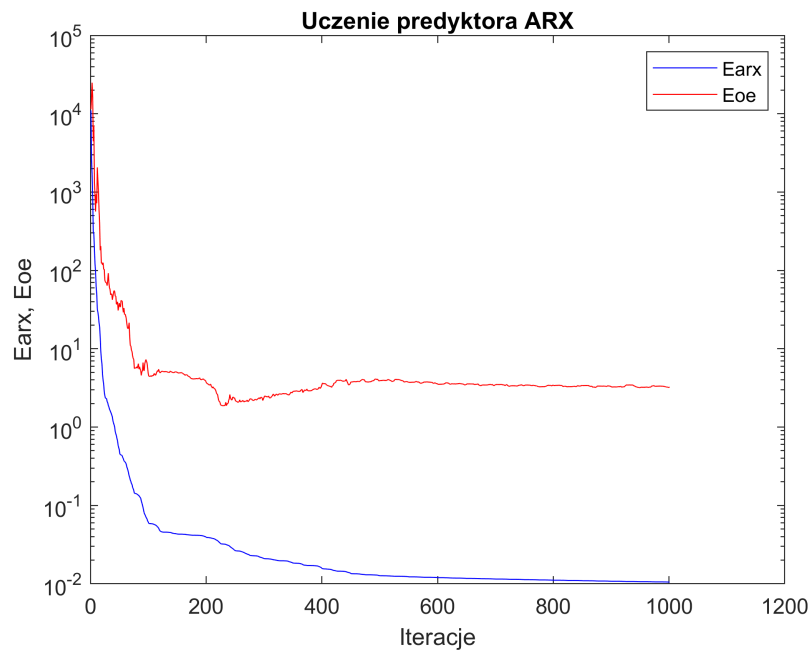
Najlepszy z modeli nauczonych algorytmem najszybszego spadku miał błąd w trybie rekurencyjnym dla zbioru weryfikującego równy  $3.901022e-02$ .



Rysunek 9: Przebieg błędów podczas uczenia.

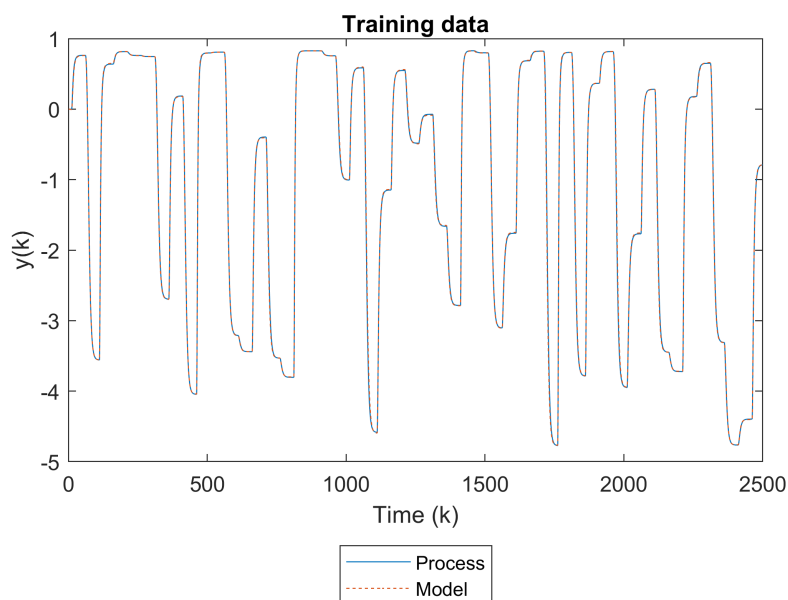
### 3.6 ARX

Najlepszy z modeli nauczonych algorytmem najszybszego spadku miał błąd w trybie bez rekurencji dla zbioru weryfikującego równy  $4.428255e-06$ .

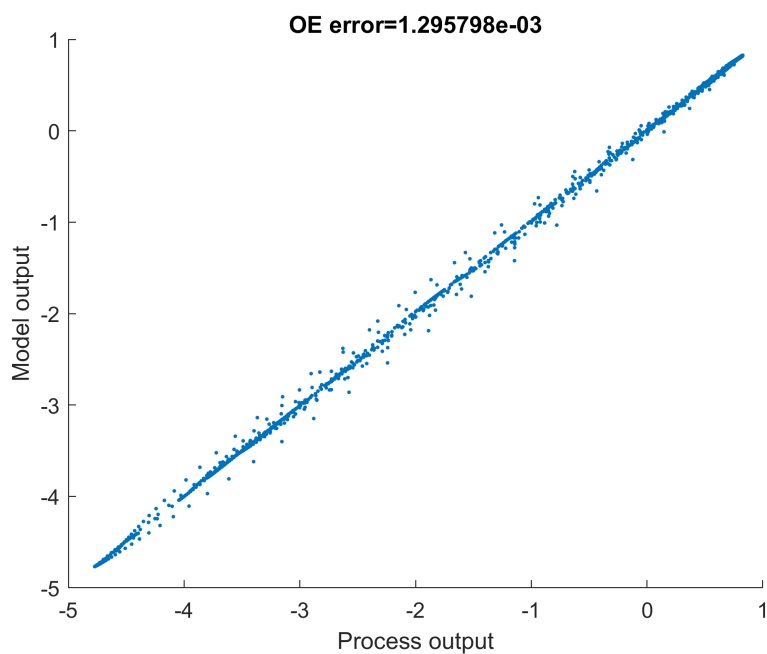


Rysunek 10: Przebieg błędów podczas uczenia.

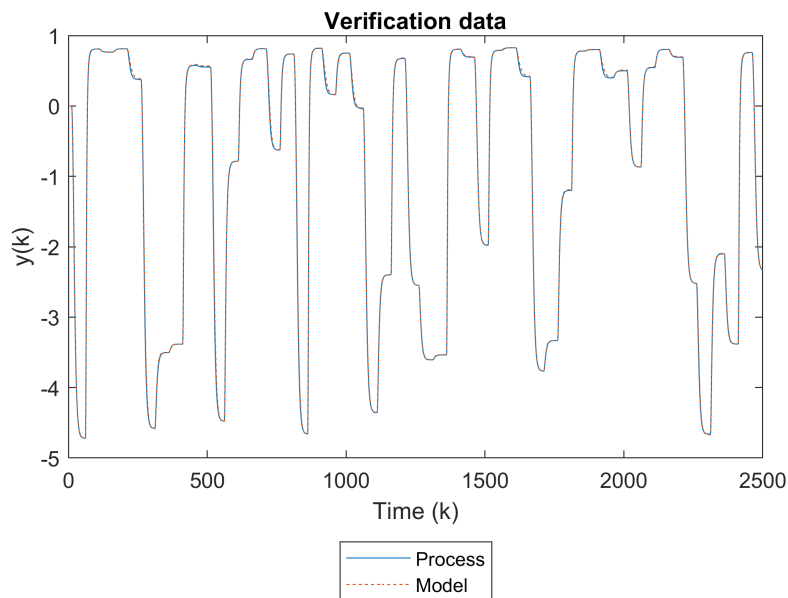
### 3.7 Porównanie modelu uczonego ARX z procesem



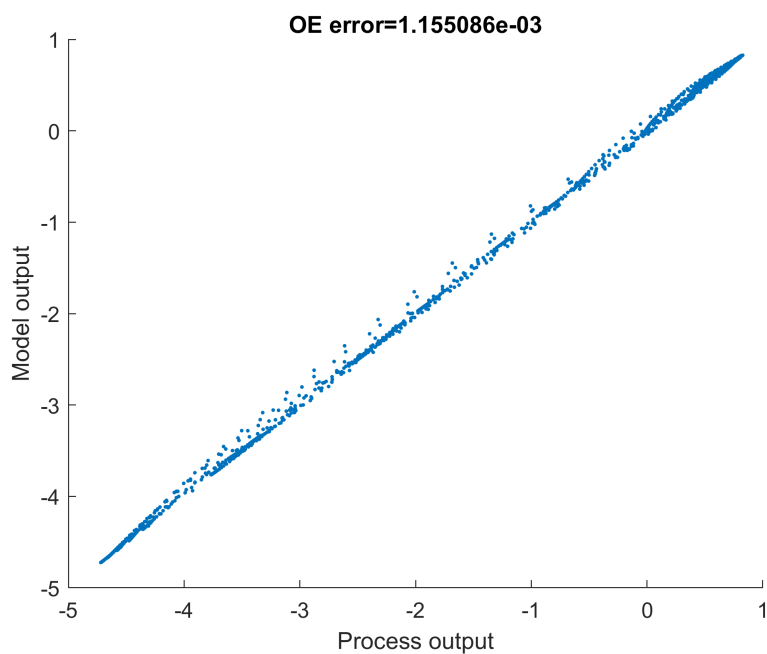
Rysunek 11: Porównanie wyjścia procesu z wyjściem modelu dla danych uczących.



Rysunek 12: Wyjścia modelu na tle wyjść procesu dla danych uczących.



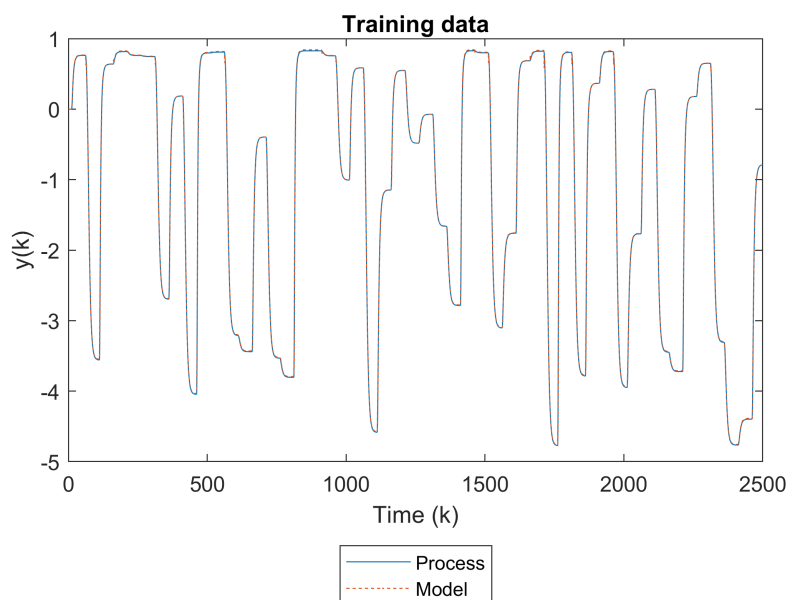
Rysunek 13: Porównanie wyjścia procesu z wyjściem modelu dla danych weryfikujących.



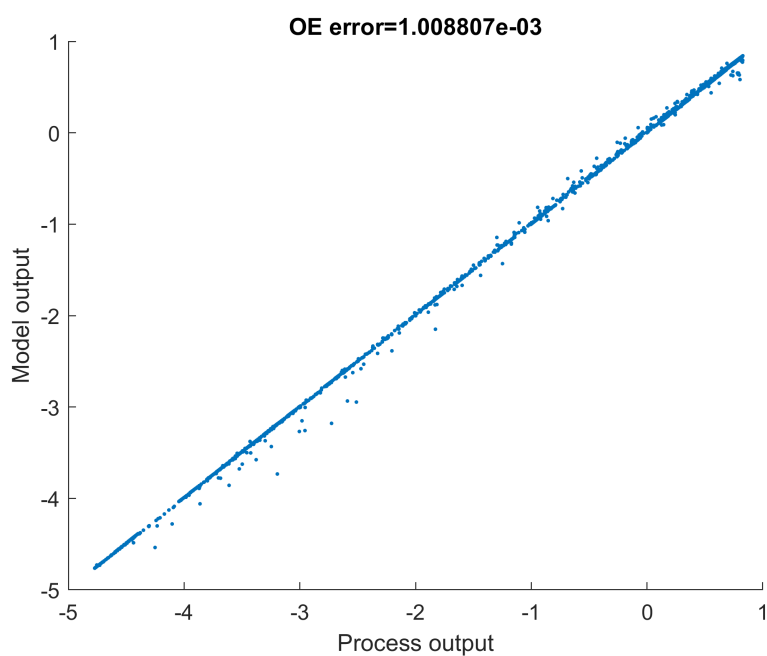
Rysunek 14: Wyjścia modelu na tle wyjść procesu dla danych weryfikujących.

Jak widać model uczony w trybie ARX ma znacznie większe problemy z poprawną symulacją procesu niż model uczony w trybie OE.

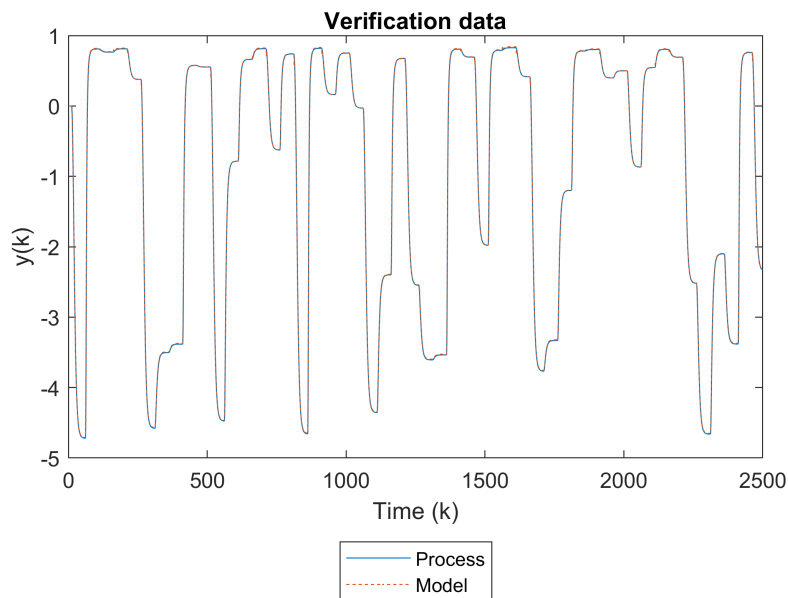
### 3.8 Model liniowy



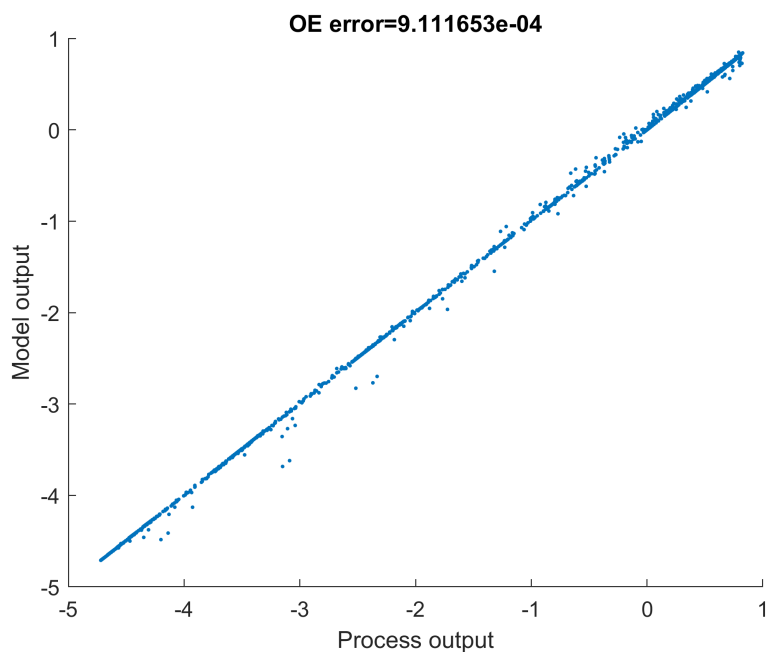
Rysunek 15: Porównanie wyjścia procesu z wyjściem modelu liniowego dla danych uczących.



Rysunek 16: Wyjścia modelu liniowego na tle wyjść procesu dla danych uczących.



Rysunek 17: Porównanie wyjścia procesu z wyjściem modelu liniowego dla danych weryfikujących.



Rysunek 18: Wyjścia modelu liniowego na tle wyjść procesu dla danych weryfikujących.

Model liniowy wyszedł całkiem niezły tym bardziej, że nie wymagał zbyt wielu obliczeń.

## 4 Modelowanie za pomocą przyborników programu MatLaba

### 4.1 Wybór przybornika

Do modelowania procesu za pomocą sieci neuronowych wewnątrz matlaba wybrany został przybornik “Deep Learning Toolbox”. Dostarcza on między innymi struktury sieci neuronowej wraz ze wszystkimi istotnymi o niej informacjami, takimi jak liczba warstw i wagi poszczególnych neuronów, a także narzędzi do ich uczenia.

### 4.2 Uczenie modeli neuronowych za pomocą przybornika MatLaba

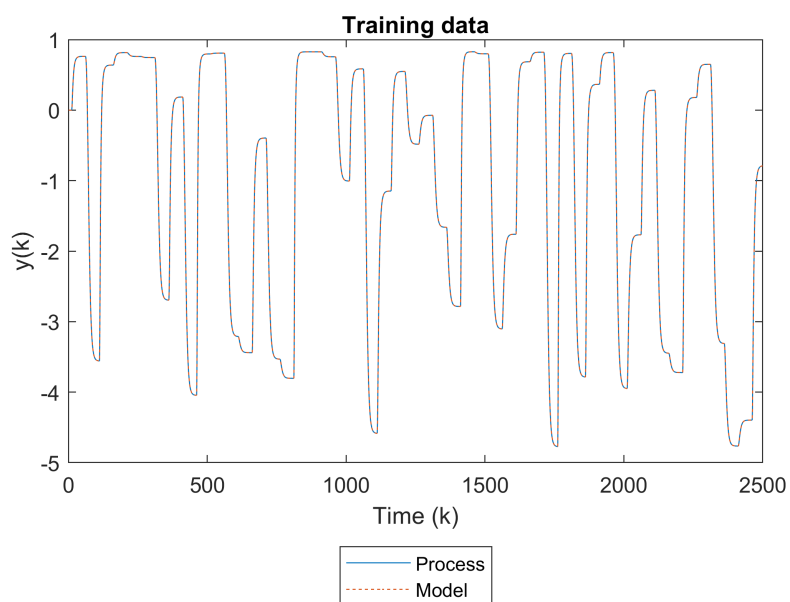
Uczenie przeprowadzono dla 1000 iteracji (pominięto ograniczenie błędu granicznego). Nauczono 10 modeli neuronowych w trybie bez rekurencji. Połowę uczono algorytmem skalowanych gradientów sprzężonych, a drugą algorytmem Levenberga-Marquardta. W poniższej tabeli znajdują się najlepsze błędy modeli z tej puli. Dla algorytmu skalowanych gradientów sprzężonych są to błędy dwóch różnych modeli, a dla algorytmu Levenberga-Marquardta są to błędy jednego modelu.

Algorytm	Średniokwadratowy błąd ARX	Średniokwadratowy błąd OE
SCG	4.342090e-05	3.942245e-03
LM	4.901803e-06	2.569114e-04

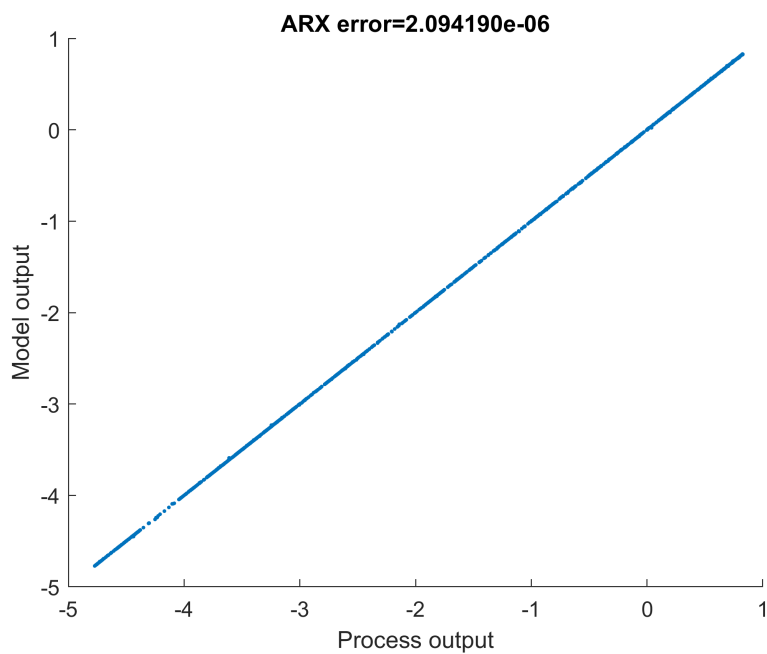
Z tabelki widać wyraźnie, że najlepszym modelem jest tu jeden z modeli uczonych metodą Levenberga-Marquardta.

## 4.3 Symulacja najlepszego modelu

### 4.3.1 Tryb bez rekurencji

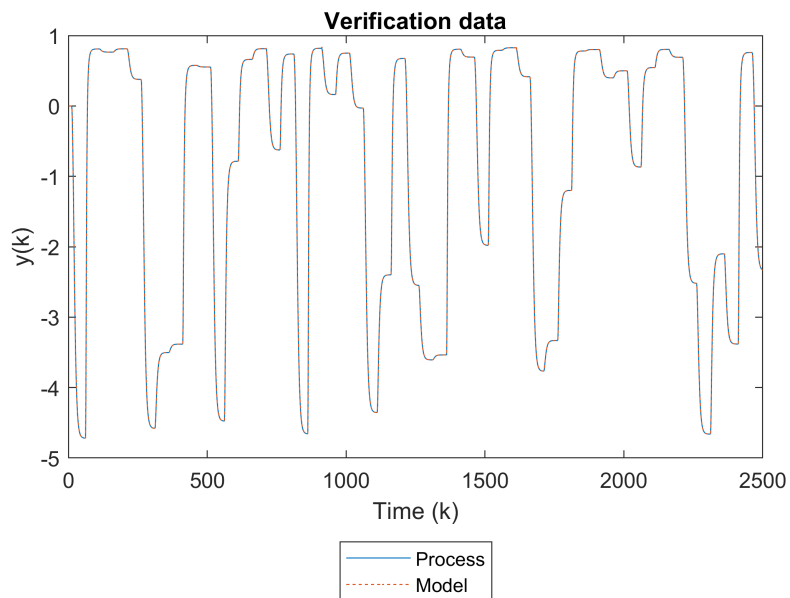


Rysunek 19: Porównanie wyjścia procesu z wyjściem modelu dla danych uczących.

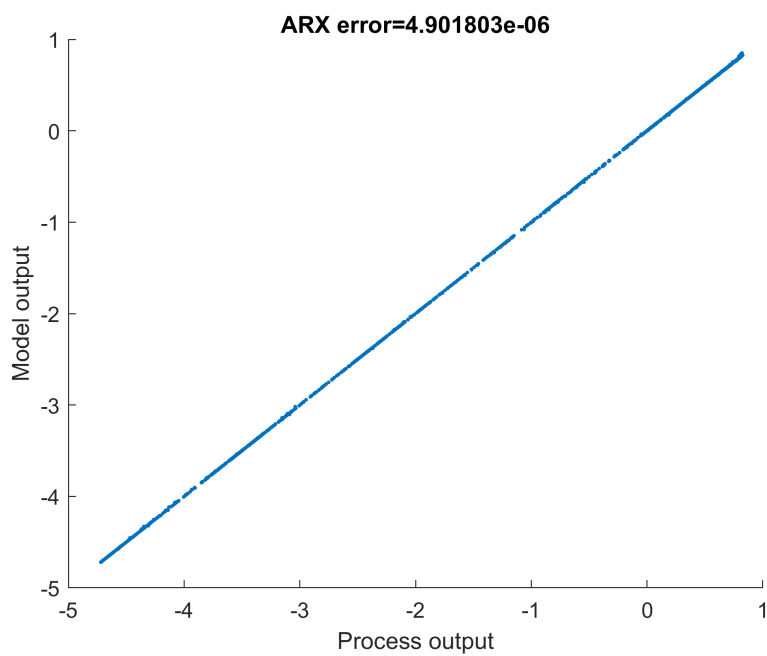


Rysunek 20: Wyjścia modelu na tle wyjść procesu dla danych uczących.



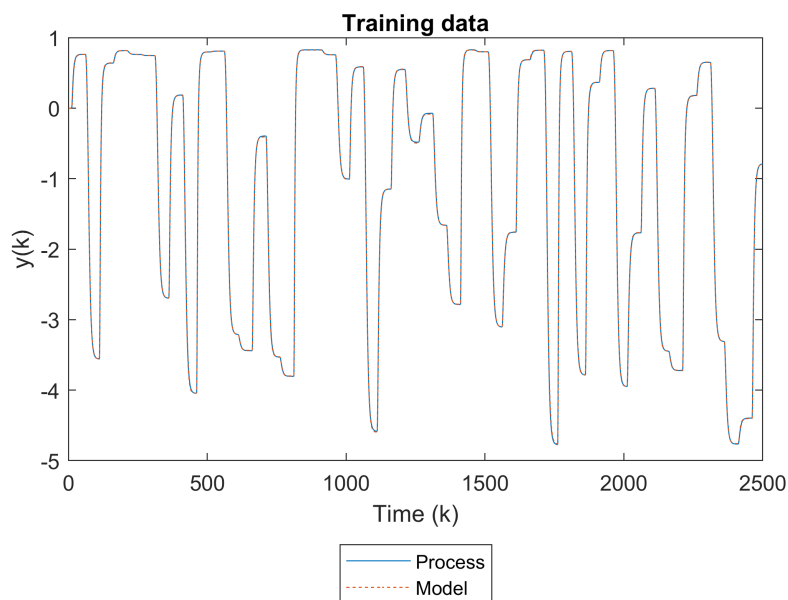


Rysunek 21: Porównanie wyjścia procesu z wyjściem modelu dla danych weryfikujących.

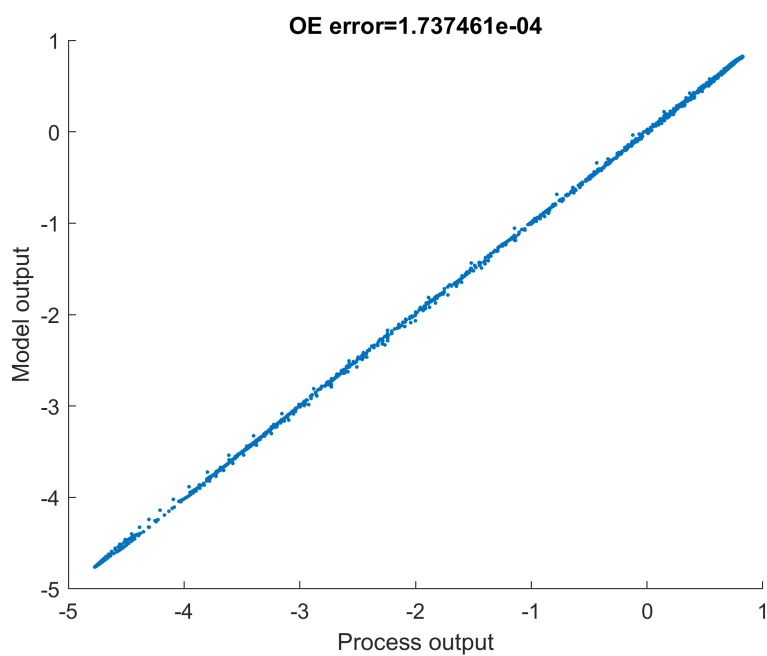


Rysunek 22: Wyjścia modelu na tle wyjść procesu dla danych weryfikujących.

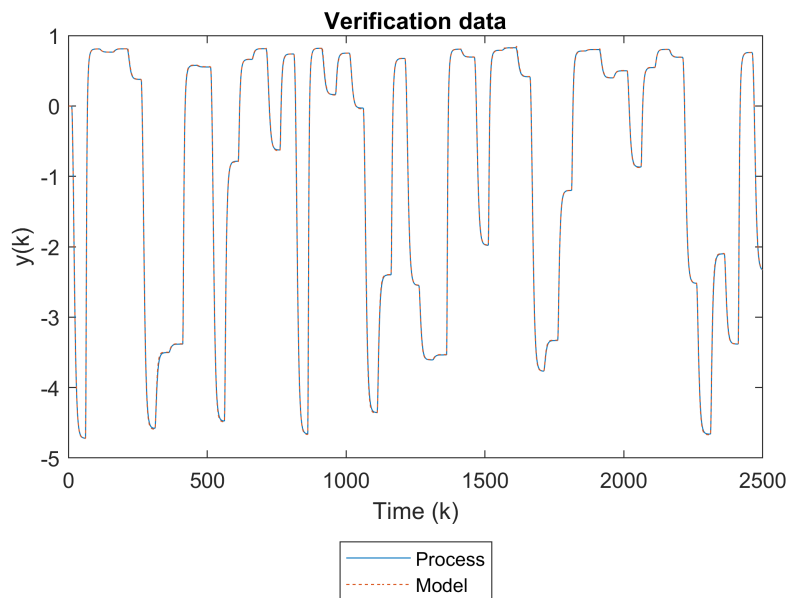
### 4.3.2 Tryb z rekurencją



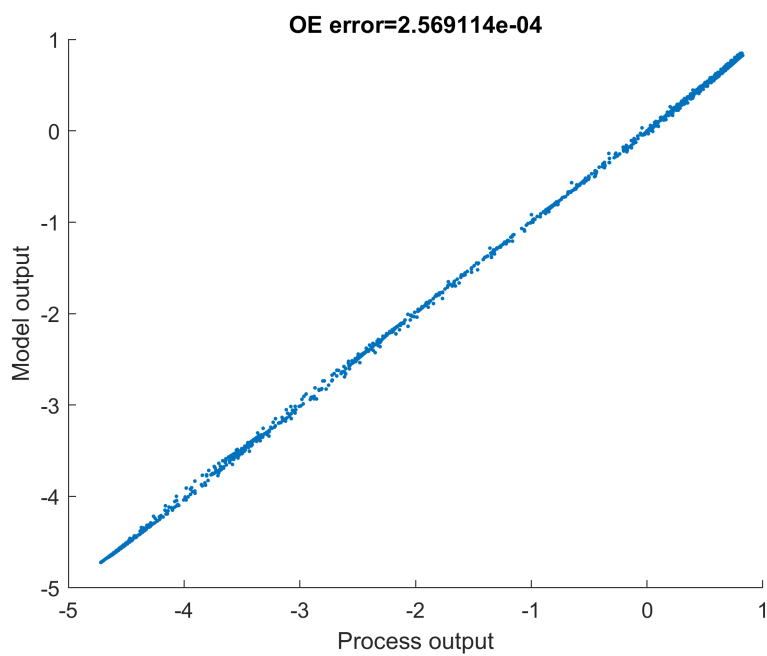
Rysunek 23: Porównanie wyjścia procesu z wyjściem modelu dla danych uczących.



Rysunek 24: Wyjścia modelu na tle wyjść procesu dla danych uczących.



Rysunek 25: Porównanie wyjścia procesu z wyjściem modelu dla danych weryfikujących.



Rysunek 26: Wyjścia modelu na tle wyjść procesu dla danych weryfikujących.

## 4.4 Porównanie powyższego modelu z modelem uczonym algorytmem BFGS

Model uczony algorytmem LM był na pewno lepszy od najlepszego modelu uzyskanego algorytmem BFGS. Pomimo, że był uczony bez rekurencji miał mniejszy błąd w trybie rekurencyjnym, uczył się też dużo dużo krócej, mimo tej samej liczby iteracji.

# 5 Regulacja procesu

## 5.1 Algorytm regulacji predykcyjnej NPL

Zaimplementowano algorytm w wersji analitycznej. Wszystkie wykresy znajdują się na końcu sekcji.

## 5.2 Strojenie i regulacja

Po kilku próbach wartości nastaw algorytmu wyznaczono na:  $N = 20$ ,  $N_u = 2$ ,  $\lambda = 30$ . Nastawy te były dobierane na jak najmniejsze przy utrzymaniu zadowalającej jakości regulacji. Wartości zadane zostały wygenerowane losowo z przedziału od  $-4.8$  do  $0.8$ .

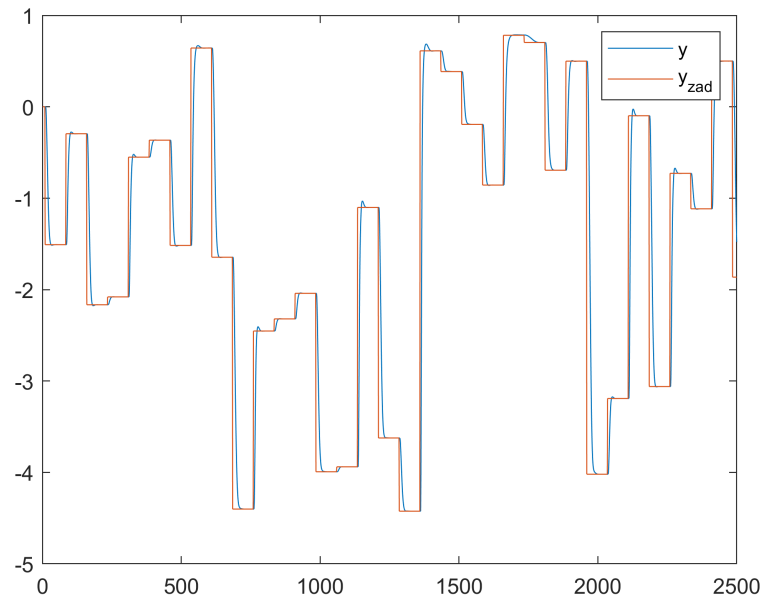
## 5.3 Algorytm GPC z modelem liniowym

Niestety, algorytm GPC z modelem liniowym nie był w stanie sobie poradzić z regulacją procesu przy takich samych nastawach, jak regulator NPL.

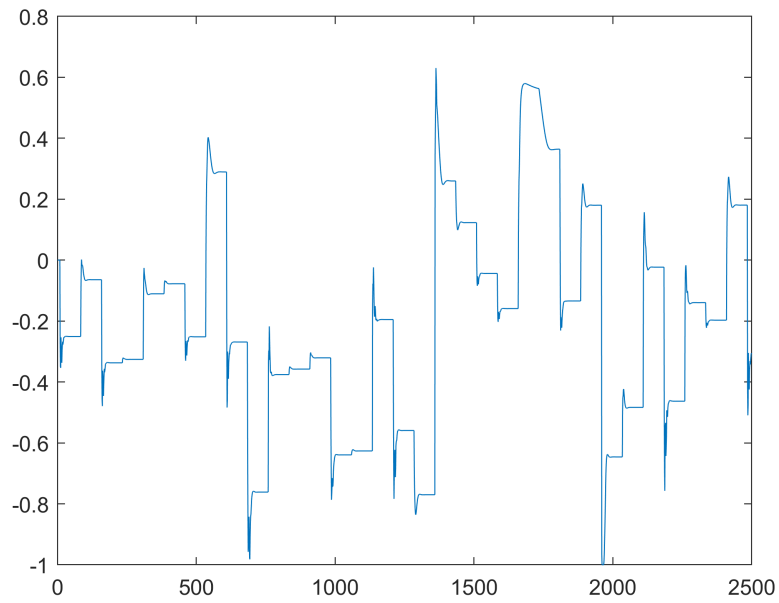
Sensowne sterowanie bez dużych oscylacji wyjścia osiągnięto dopiero po zwiększeniu horyzontu sterowania do 20, oraz  $\lambda$  do 1000. Przy takich nastawach regulator ma jednak problemy z nadążaniem z regulacją.

Dla takich ustawień regulator NPL również nie nadąża z regulacją, jednak sterowanie przez niego wyliczane jest bardziej stabilne.

Nastawy:  $N = 20$ ,  $N_u = 2$ ,  $\lambda = 30$

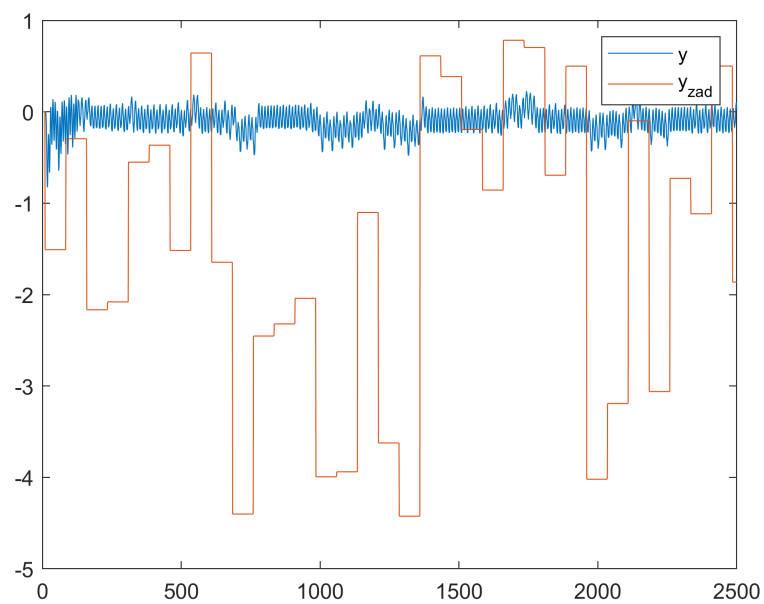


Rysunek 27: Wyjście procesu regulowanego NPL i wartość zadana.

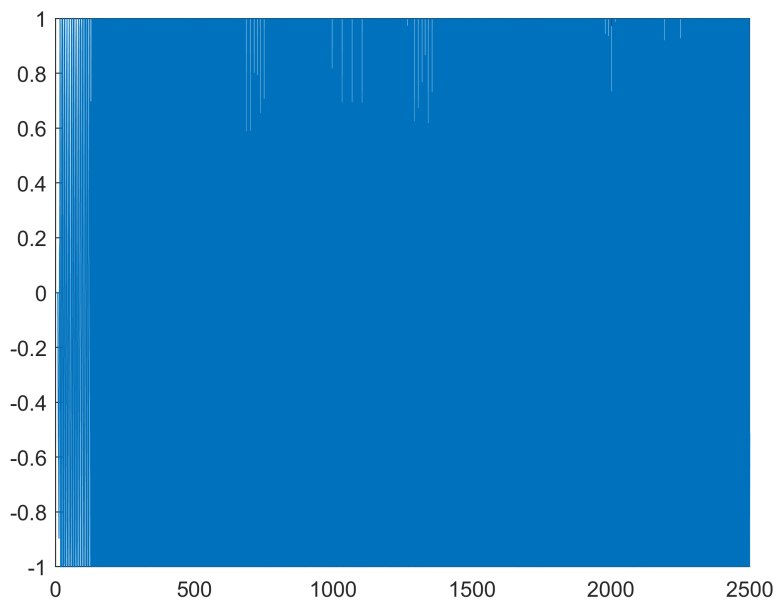


Rysunek 28: Sterowanie procesu NPL.

Nastawy:  $N = 20$ ,  $N_u = 2$ ,  $\lambda = 30$

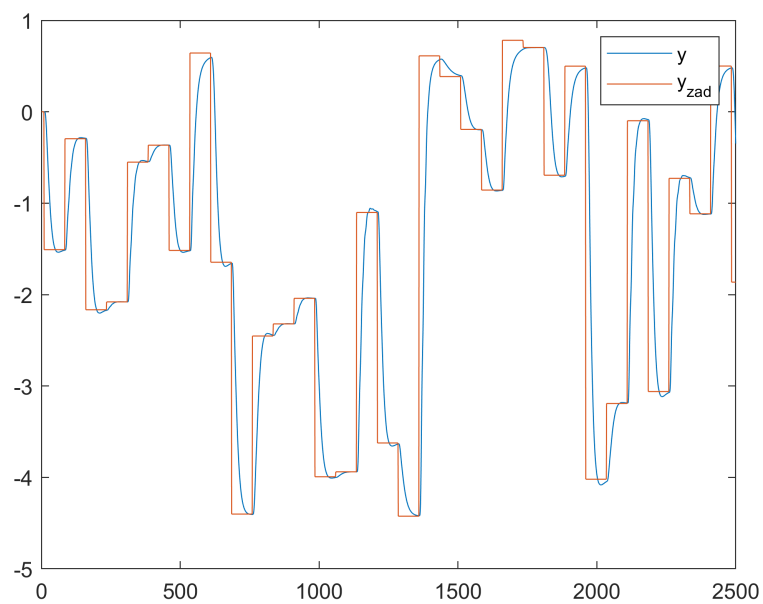


Rysunek 29: Wyjście procesu regulowanego GPC i wartość zadana.

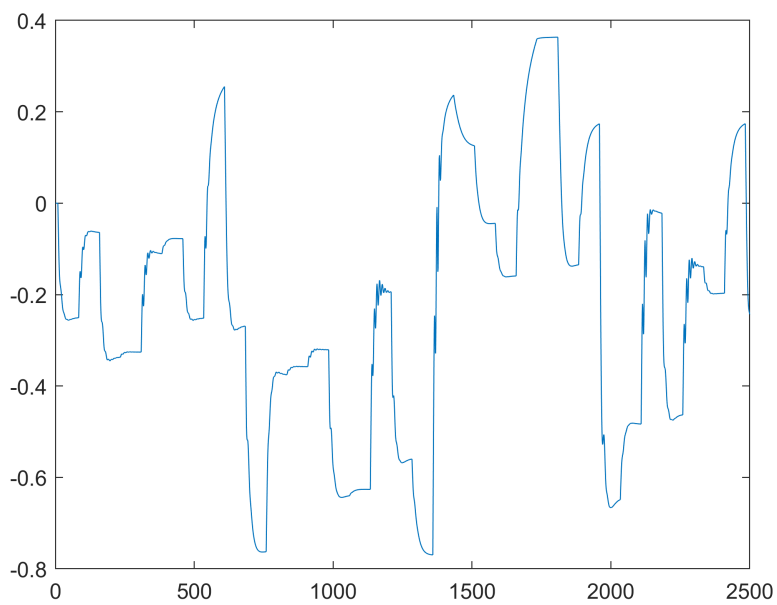


Rysunek 30: Sterowanie procesu GPC.

**Nastawy:**  $N = 20$ ,  $N_u = 20$ ,  $\lambda = 1000$

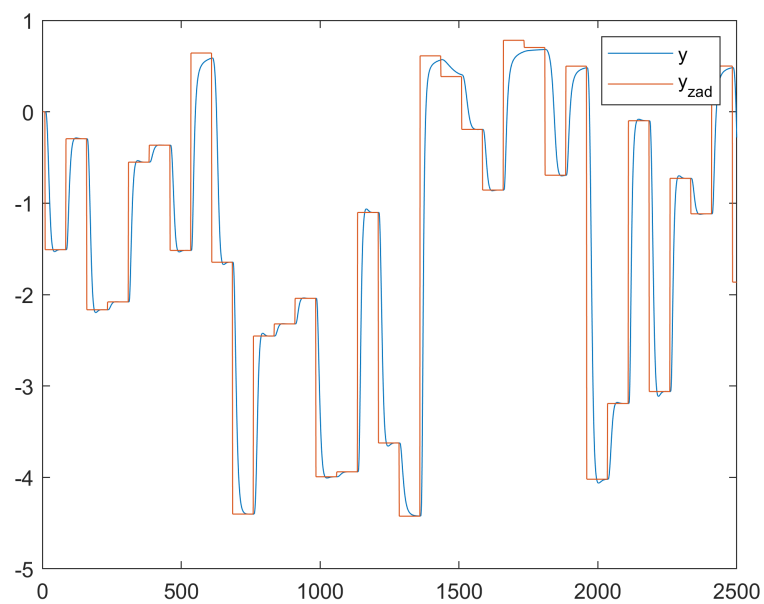


Rysunek 31: Wyjście procesu regulowanego GPC i wartość zadana dla zmienionych nastaw.

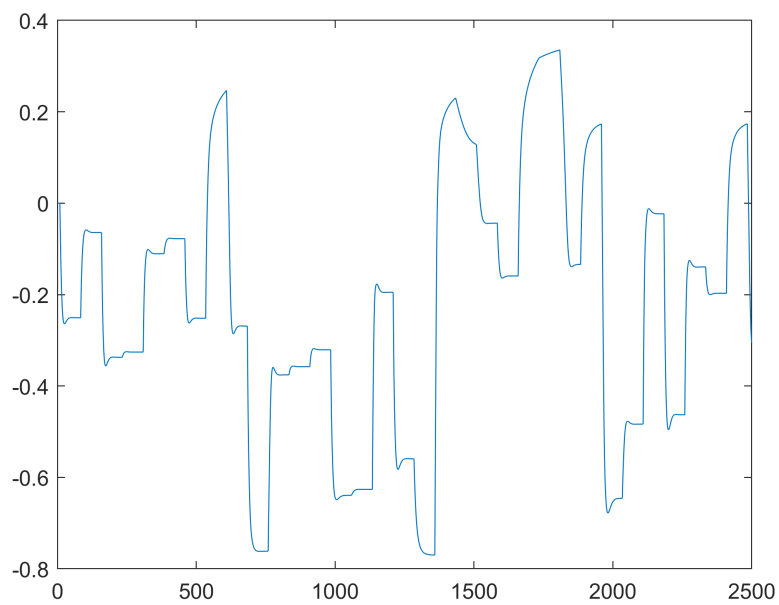


Rysunek 32: Sterowanie procesu GPC dla zmienionych nastaw.

**Nastawy:**  $N = 20$ ,  $N_u = 20$ ,  $\lambda = 1000$



Rysunek 33: Wyjście procesu regulowanego NPL i wartość zadana dla zmienionych nastaw.

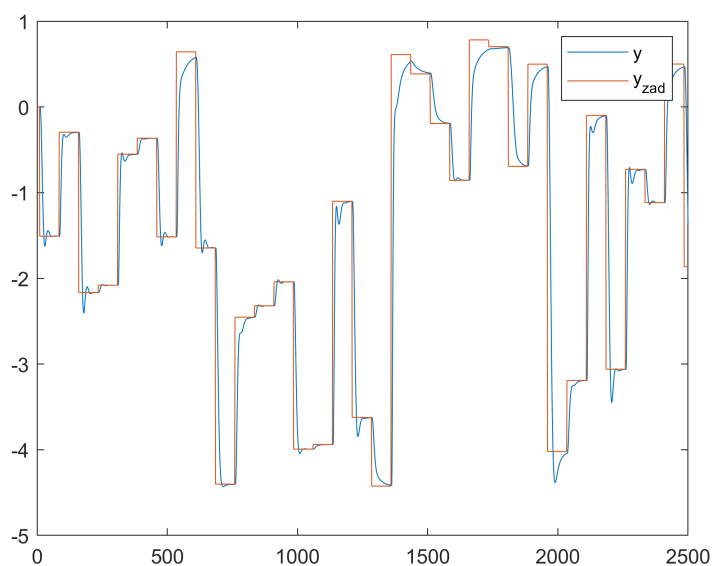


Rysunek 34: Sterowanie procesu NPL dla zmienionych nastaw.

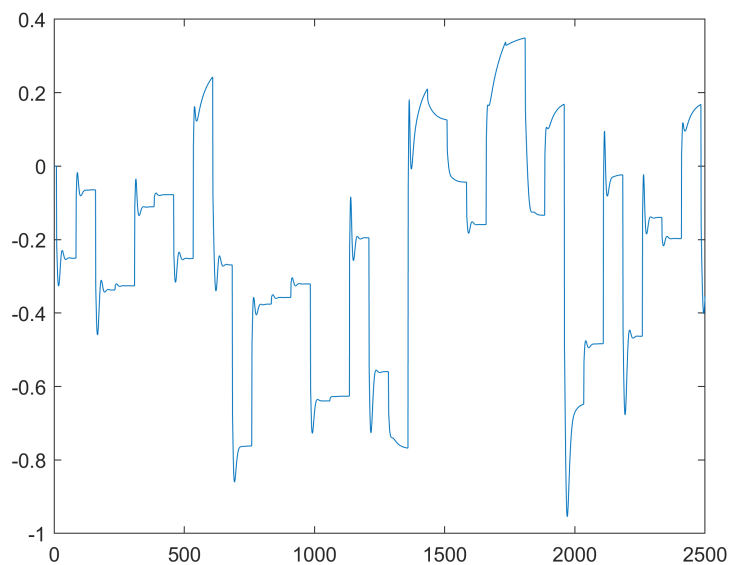


## 5.4 PID (zadanie dodatkowe)

Jak można się było spodziewać, jakość regulacji PID'a nie jest zbyt dobra. Po przeprowadzeniu eksperymentu Zieglera-Nicholsa wyznaczono  $K_k = 1$  i  $T_k = 15$ . Nastawy Zieglera-Nicholsa nie działały w ogóle, więc metodą prób i błędów wyznaczono nastawy:  $K = 0.125K$ ,  $T_s = 0.5T_k$  i  $T_d = 0.01T_k$ . Powodem problemów z regulatorem PID jest oczywiście nieliniowość procesu.



Rysunek 35: Wyjście procesu regulowanego PID.



Rysunek 36: Sterowanie procesu PID.